

GERMANYUMLU HETEROSİKLİK BİLEŞİKLER (I) DİFENİL-GERMANYUM-KALKOJENÜRLER

T. Rıza KÖK

E.Ü. Fen Edebiyat Fakültesi Kimya Anabilim Dalı, Kayseri

ÖZET

Bu çalışmada difenil-germanyum-kalkojenür bileşiklerinin sentez yolları, özellikleri ve spektroskopik çalışmalarından çıkan bulgular anlatılmaktadır. Analiz ve spektroskopik ölçme sonuçlarına göre, sülfür ve selenür bileşikleri altılı, tellur bileşiği dörtlü halka oluşturmaktadır. Dörtlü sülfür bileşiği değişik bir yolla yapılmaktadır. Elde edilen bulgular literatür değerleri ile karşılaştırılıp tartışılmaktadır.

HETEROCYCLISCHE GERMANIUMVERBINDUNGEN (I) DIPHENYL-GERMANIUM-CHALKOGENIDE

ZUSAMMENFASSUNG

In dieser Arbeit werden die Synthesemethoden, die Eigenschaften und die Ergebnisse der spektroskopischen Untersuchungen der Biphenyl-Germanium-Chalkogenverbindungen beschrieben. Nach den Analysen- und Spektroskopischen-Ergebnissen liegen die Sulfid- und Selenid-Verbindungen als Sechsringe und die Tellur-Verbindung als Vierring vor. Der Sulfidviererring wird nach einem anderen Reaktionsweg synthetisiert. Die erhaltenen Ergebnisse werden mit den Literaturdaten verglichen und diskutiert.

1. GİRİŞ

Karbon, silisyum, germanyum ve kaiay aynı grupta bulunmaktadır. Bu nedenle benzer kimyasal özelliklere sahiptirler. Bu üç element aynen karbon gibi, hem düz zincir, hem de halkalı bileşikler yaparlar. Bunlardan silisyum ve kalayın metalorganik bileşikleri üzerinde yapılan araştırmalar epeyce ilerlemiş olup; hem teorik hem de pratik önemli sonuçlar ortaya çıkmıştır. Silisyumun organik bileşikleri "Silikonlar" olarak sentetik kimyada önemli yer tutarlar [1, 2, 3]. Ayrıca bazı organosilisyum bileşiklerinin fizyolojik etkisi olduğu tespit edilmiştir [4]. Organokalay bileşiklerinden bazıları tarımda haşere öldürücü, bazıları da polimer kimyada katalizör olarak kullanılmaktadır [1, 5]. Bu nedenle organo-germanyum bileşikler üzerinde yapılan çalışmalar son yıllarda hızlanmıştır [6, 7, 8, 9, 10].

Fizyolojik etkisi görülen ve halkada silisyum ve oksijen içeren bileşiklere benzer şekilde; yapısında bu iki elementten başka germaniyum bulunan bileşikler sentezlenerek yapıları aydınlatılmıştır [11, 12].

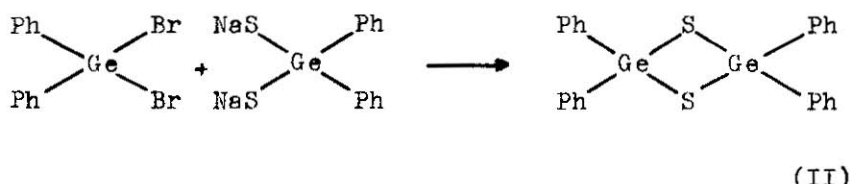
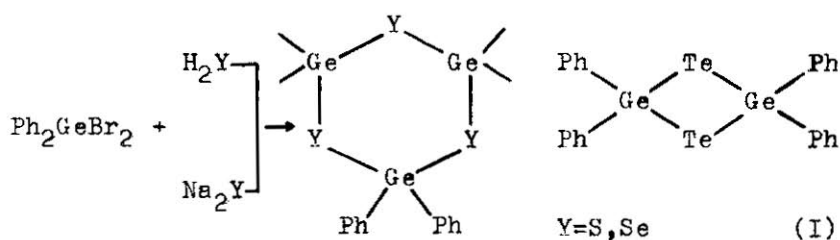
Oksijenden sonra gelen diğer kalkojenürleri, özellikle selenyum ve telluru içeren germaniyumlu bileşikler üzerindeki çalışmalara literatürde çok az rastlanmaktadır. Bu nedenle her üç kalkojenürde de çalışmalara ağırlık verilerek değişik organik ligandlarla ve değişik yapıda halkalı heterosiklik bileşiklerin sentezleri gerçekleştirılmıştır. Bunlar seri halinde (II), (III) v.b. şeklinde okuyucularımıza tanıtılmaya çalışılacaktır.

Sentezleri yapılan bileşiklerin yapıları elementel analizle ve çeşitli spektroskopik metodlarla (IR-, Raman-, NMR-, v.b.) aydınlatılmıştır. Präparatif çalışmalarında olduğu gibi, spektroskopik çalışmalarında da bazı beklenmeyen ilginç sonuçlarla karşılaşılmıştır.

2. ELDE EDİLME METODLARI VE BAZI FİZİKSEL, KİMYASAL ÖZELLİKLERİ

Difenil-germanyum-kalkojenürlerin sentezi iki yöntemle yapılır. Birincisinde difenil-germanyum-halojenürlerin Ph_2GeX_2 ($X = \text{Cl}, \text{Br}$) hidrojen kalkojenürlerle H_2Y ($\text{Y} = \text{S}, \text{Se}, \text{Te}$) reaksiyonundan kazanılır. Bu yöntemde halkanın olmasını sağlamak için organik bir yardımcı baz (piridin, trietilamin v.b.) kullanılır. Reaksiyon anında oluşan hidrojen halojenürler HX ($X = \text{Cl}, \text{Br}$) bu yardımcı baz tarafından RH^+Cl^- ($\text{R} = \text{Organik Baz}$) şeklinde tutularak uygun apolar bir bir çözücüde çökeltilir. Çökeltilen pridinhidroklorür v.b.'nin tartılmasıyla reaksiyonun hangi ölçüde cereyan ettiği hakkında kalitatif olarak bilgi edinilir.

Diğer yöntemde ise, Ph_2GeX_2 bileşiği sodyumkalkojenürlerle Na_2Y ($\text{Y} = \text{S}, \text{Se}, \text{Te}$) reaksiyona girer. Bu reaksiyonda oluşan sodyumhalojenürler, organik çözümlerde çözünmediklerinden, çökelti oluşturarak dengenin devamlı reaksiyon ürünleri yönüne kaymasını sağlarlar. Bu iki yöntemde (Reaksiyon I) sülfür ve selenür bileşiklerinin altılı, tellur bileşığının dörtlü halka oluşturduğu anlaşılmıştır. Yani yazımızın başlığı olan difenil-germanyum-kalkojenür grubunun (Ph_2GeY), trimer ve dimeri şeklinde ürünler oluşuyor.



Dimer sülfür ise değişik bir yöntemle (Reaksiyon II), difenil-germanyum-disodyum-ditiyolat $\text{Ph}_2\text{Ge}(\text{SNa})_2$, ile Ph_2GeBr_2 'ün yine aynı cins bir çözücüde reaksiyonundan kazanılır. Bu son yöntemle dimer selenür bileşığının de sentezi denemisdede, beklenen ürün elde edilememiştir. Reaksiyon sonunda daima, kinetik açıdan daha kararlı olduğu sanılan trimer-selenür bileşiği izole edilmiştir. Analog şekilde dimer difenil-silisyum- ve difenil-kalay-kalkojenürlerinin şimdiye kadar sentezi yapılmamıştır. Literatürde buna ait bilgiye rastlanmamıştır.

Dimer ve trimer sülfürler Henry ve Davison tarafından ilk olarak sentez edilmiştir [13]. Fakat elementel analiz sonuçları her ikisinin de aynı çıkacağından, halka büyülüğu sadece molekül ağırlığı tayini yöntemiyle bulunmuş, uzun süre geçmesine rağmen literatürde spektroskopik çalışmalarla ilgili hiç bir bilgiye rastlanmamıştır. Bu nedenle diğer yeni sentez edilen bileşiklerin verileri ile karşılaştırmak için bileşikler yeniden sentez edilmiş ve bütün spektroskopik çalışmaları yapılmıştır. Onlar tarafından verilen fiziksel özellikler tarafımızdan yapılan bileşiklerde de görülmüştür. Buna göre her iki sülfür de renksiz kristal bileşikler olup, hem katı halde, hem de çözelti içerisinde kararlıdırlar.

Tablo-1 : Difenil-Germanyum-Kalkojenür bileşiklerinin elementel analiz neticeleri ve bazı fiziksel özellikleri (Analizler % element miktarları olarak).

	(Ph ₂ GeS) ₂	(Ph ₂ GeS) ₃	(Ph ₂ GeS) ₃	(Ph ₂ GeTe) ₂
Bulunan	C : 55,71 H : 3,95 S : 11,97 Ge : 28,36	C : 55,77 H : 3,87 S : 12,15 Ge : 28,37	C : 46,95 H : 3,29 Se : 25,70 Ge : 23,20	C : 40,62 H : 2,86 Te : 36,00 Ge : 21,30
Hesaplanan	C : 55,67 H : 3,89 S : 12,38 Ge : 28,14	C : 55,67 H : 3,89 S : 12,38 Ge : 28,04	C : 47,14 H : 3,29 Se : 25,70 Ge : 23,75	C : 40,66 H : 2,84 Te : 36,00 Ge : 20,50
Bulunan Mol. ağırlığı Hesaplanan	524	728		
Ergime Noktası	517,73	776,78	917,25	708,80
	198°C	185°C	202°C	179°C
	Renksiz ince uzun iğneler	Renksiz uzun iğneler	Renksiz büyük kristaller	Sarı-yeşili yumruk kristaller

Selenürde renksiz kristal bir maddedir ve katı fazında ışık ve havanın oksijene karşı kararlıdır, fakat çözelti içerisinde zamanla oksijen tarafından parçalandığı tespit edilmiştir. Literatürde trimer selenürün 127°C 'de bozunmaya uğrayarak eridiği yazıyorsa da, tarafımızdan elde edilen kristaller 202°C 'de bozunmadan erimektedir [14]. Bu bileşigin, ısı etkisiyle katı fazındaki değişimeleri ayrıca incelenecaktır.

Tellur bileşigine gelince, sarı-yeşil renkte kristal bir madde olup, ışık ve oksijene karşı, hem katı fazında, hem de çözelti içerisinde çok hassastır. Bu nedenle saf olarak elde edilmesi çok zaman almıştır. Çalışmalar devamlı olarak argon atmosferinde yapılmıştır. Madde 179°C 'de erimektedir.

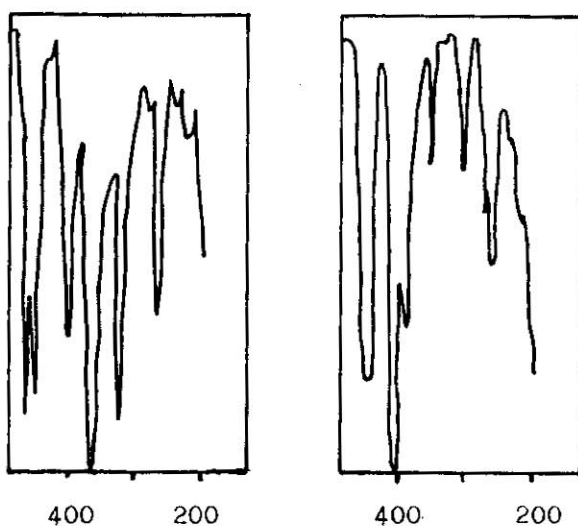
Bütün dört bileşik de kloroform gibi polar çözücüler içerisinde iyi, hekzan ve benzeri apolar çözücülerde kötü çözünmektedir.

Bütün reaksiyonlar inert ortamda (susuz, oksijensiz), argon atmosferinde ve toluen içerisinde yapılmıştır. Tablo-1'de bu dört bileşigin, elementel analiz sonuçları ve bazı fiziksel özellikleri toplu olarak görülmektedir.

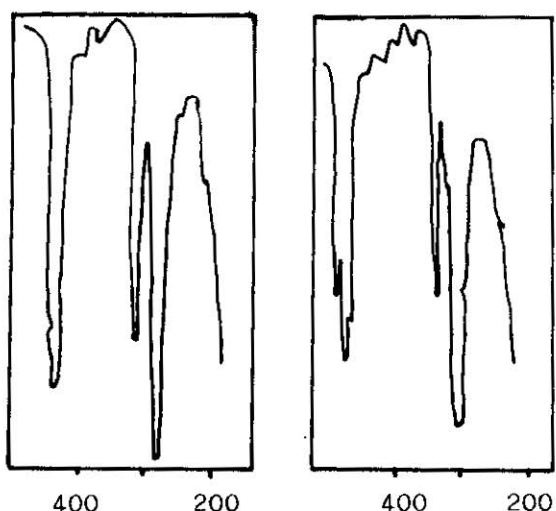
3. SPEKTROSKOPİK ÇALIŞMALAR

3.1. IR- VE RAMAN-SPEKTROSKOPİSİ

Bu dört bileşigin de IR-Spektrumları, maddelerin potasyumbromür ile karıştırılmasıyla, Raman-Spektrumları ise saf madde olarak ölçülmüştür. Tellur bileşigi renkli olduğu için, Raman-Spektrumunda bir sinyal görülmemiştir. Spektrumlarda gözlenen sinyallerin şiddet ve yerleri literatürde açıklanan değerlere uymaktadır [15, 16, 17]. Bu bileşikler için karakteristik sinyal Ge - Y ($Y = S, Se, Te$) olup, bu titreşimden aşağı çıkan sinyaller hemen açıkça tanımlmaktadır. Tablo-2'de IR- ve Raman-Spektrumlarında gözlemlenen önemli sinyaller ve bunların dalga sayıları görülmektedir. Bu tabloda ayrıca büyüyen kalkojen ile, Ge - Y titreşim değerlerinin daha küçük dalga sayısına kaydığını görmekteyiz. Zaten teorik olarak da böyle olması gereklidir [18]. Benzer gözlemler di-t.butil-germanyum-ve di-t.butil-kalay-kalkojenür bileşiklerinde de yapılmıştır [19, 20].



Şekil-1.2 : $(\text{Ph}_2\text{GeS})_2$ ve $(\text{Ph}_2\text{GeS})_3$ bileşiklerinin IR-Spektrumları.



Şekil-3.4 : $(\text{Ph}_2\text{GeSe})_3$ ve $(\text{Ph}_2\text{GeTe})_2$ bileşiklerinin IR-Spektrumları.

	Titre-şim	(Ph ₂ GeS) ₂	(Ph ₂ GeS) ₃	(Ph ₂ GeSe) ₃	(Ph ₂ GeTe) ₂
IR	Ge-Y	410 cm ⁻¹	415 cm ⁻¹	335 cm ⁻¹	320 cm ⁻¹
		370	370	300	290
	Ge-C	275 cm ⁻¹	275 cm ⁻¹	---	---
Raman		330	320	---	---
	Ge-Ph	1085 cm ⁻¹	1085 cm ⁻¹	1080 cm ⁻¹	1070 cm ⁻¹
	Ge-C	245 cm ⁻¹	250 cm ⁻¹	240 cm ⁻¹	Sinyal elde edilemedi
Raman	Ge-Y	420 cm ⁻¹	370 cm ⁻¹	305 cm ⁻¹	
	Ge-Ph	1075 cm ⁻¹	1080 cm ⁻¹	1070 cm ⁻¹	

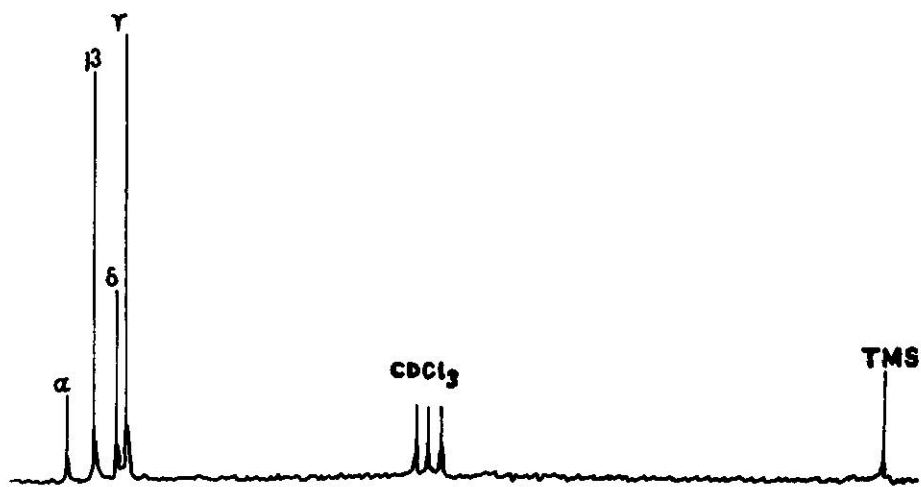
Tablo-2 : (Ph₂GeY)_n bileşiklerinin IR- ve Raman-Sinyalleri

IR-Spektrumları halkaların dörtlümü, yoksa altılımı oldukları hakkında da ilk ön bilgiyi vermektedir. Asimetrik Ge-Y titreşimleri altılı halkalarda, dörtlüden daha şiddetlidir. Tellur ($\nu = 290 \text{ cm}^{-1}$) ve dimer sülfür bileşiginin ($\nu = 370 \text{ cm}^{-1}$) simetrik Ge-Y titreşimleri ise asimetriklerden daha şiddetlidir (Şekil-1, 2,3, 4).

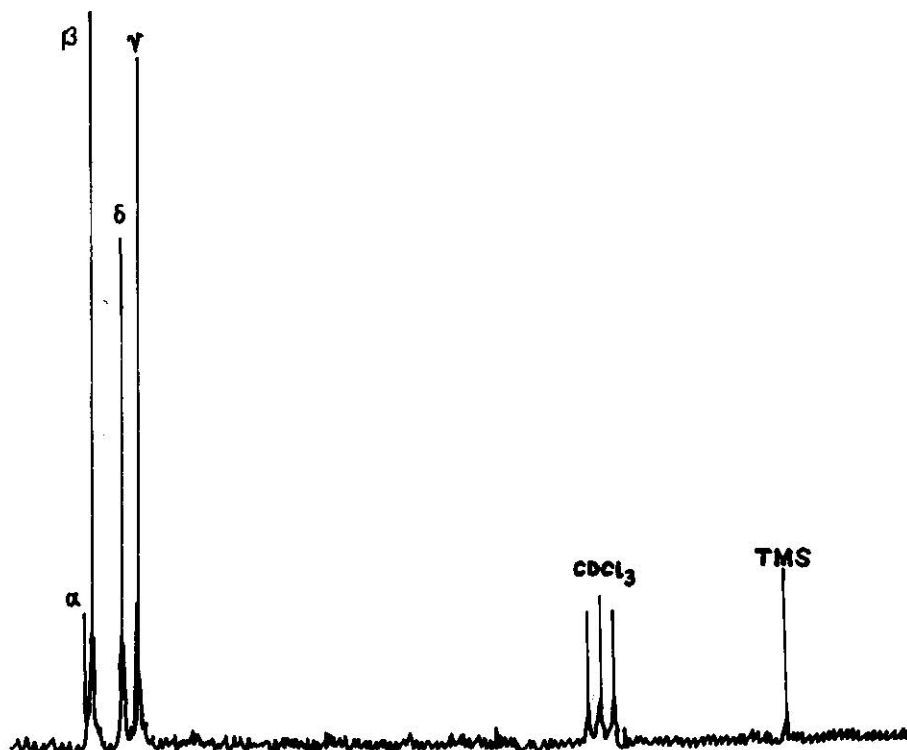
3.2. NMR-SPEKTROSKOPİSİ

Yukarıdaki bileşiklerin hepsine de ¹H-, ¹³C- ve selenür bileşiğine ise ek olarak ⁷⁷Se-NMR spektroskopisi tekniği uygulanmıştır. Bütün spektrumlarda tek cins fenil grubu ve ⁷⁷Se-NMR spektrumunda tek cins selenyum atomu gözlenmiştir (Şekil-5, 6, 7, 8). Buda bize bütün bileşiklerin döteryumlu kloroform (CDCl₃) içerisinde yüksek bir simetrik yapıya sahip olduklarını göstermektedir.

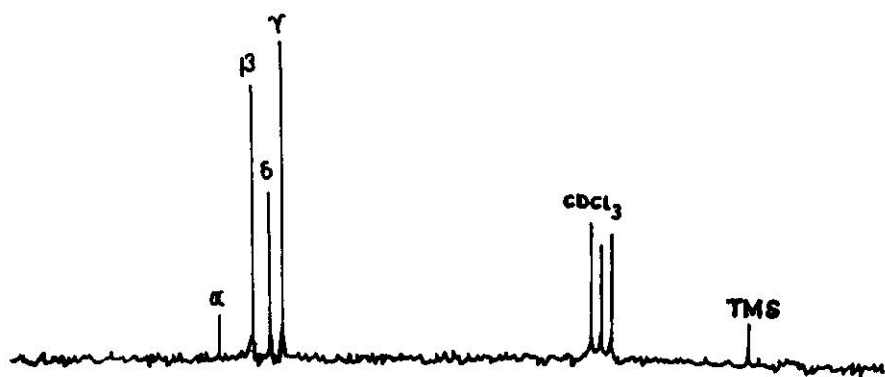
Fenil grubu içeren bileşiklerin ¹H-NMR spektrumlarından yapı ile ilgili bir bilgi elde etmek zordur. Çünkü değerlendirmesi zor olan karışık bir sinyaller grubu gözlenir. Fakat organik bir molekülde karbon atomu sayısı hidrojen atomu sayısından az olduğundan, ¹³C-NMR spektrumlarının yorumunu



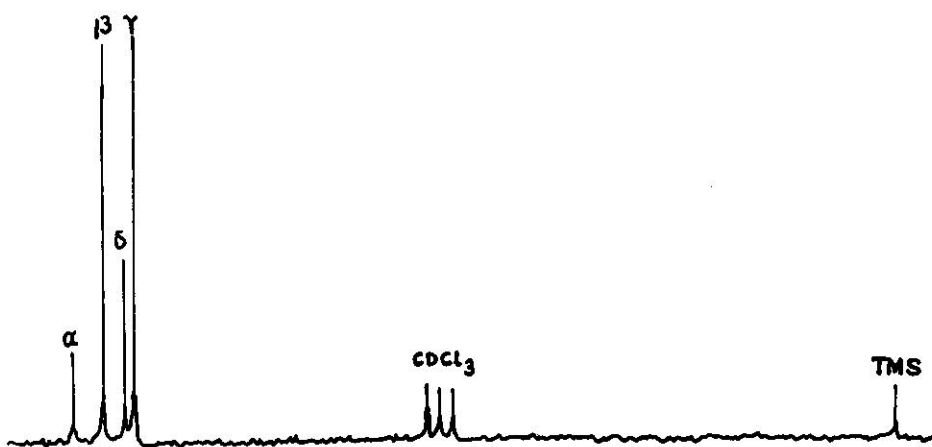
Şekil-5 : $(\text{Ph}_2\text{GeSe})_3$ bileşiğinin ^{13}C -NMR spektrumu.



Şekil-6 : $(\text{Ph}_2\text{GeTe})_2$ bileşiğinin ^{13}C -NMR spektrumu.

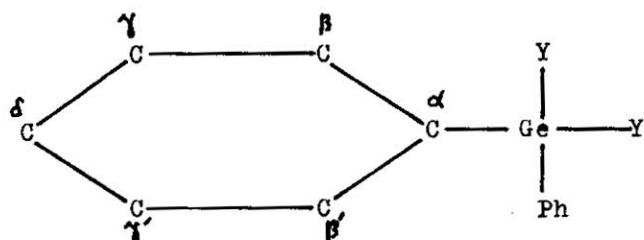


Şekil-7 : $(\text{Ph}_2\text{GeS})_2$ bileşiğinin ^{13}C -NMR spektrumu.



Şekil-8 : $(\text{Ph}_2\text{GeS})_3$ bileşiğinin ^{13}C -NMR spektrumu.

yapmak daha kolaydır, çünkü daha az sinyal meydana gelir. Böylece yapı hakkında daha sağlıklı bilgi edinilir. Sentezi yapılan bu bileşiklerin ^{13}C -NMR spektrumlarında görülen sinyallerin açıklaması şöyledir :



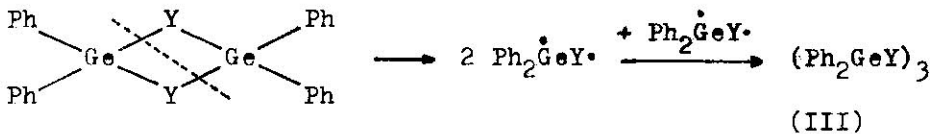
Göründüğü gibi germaniuma bağlı fenil gruplarında dört ayrı cins C-atomu vardır. Bunlardan C_γ , C_β ve $\text{C}_{\gamma'}$, $\text{C}_{\beta'}$ birbirlerine elektronik çevre bakımından eşdeğerdir. Eğer bunlar eşit olmasalardı, spektrumlar üzerinde dört değil, altı sinyal görülecekti. Bu nedenle bütün bu dört bileşiğin ^{13}C -NMR spektrumlarında iki şiddetli (C_γ , C_β - $\text{C}_{\gamma'}$, $\text{C}_{\beta'}$), ikide zayıf (C_α , C_δ) sinyal görülmektedir. Spektrumlarda bu şekilde bir yarıılma, sentezi yapılan diğer fenil-germanium bileşiklerinde de görülmüştür [11, 12, 20, 21]. Sinyallerin kayma değerleri toplu olarak Tablo-3'de görülmektedir.

3.3. KÜTLE SPEKTROSKOPİSİ

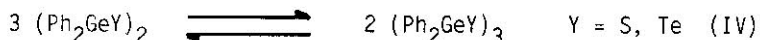
Bütün bileşiklerin kütle spektrumlarında (M^+) den gelen molekül piki gözlenmiştir. Ayrıca dimer sülfür ve tellur bileşiklerinin spektrumlarında, trimer bileşiklerin varlığına işaret eden molekül pikleri görülmektedir. Fakat bu pikler zayıftır, bu nedenle bunların spektrumlar ölçülürken gaz fazında dimerlerinden olduğu düşünülebilir. Bileşiklerin katı fazında ise dörtlü halkalardan meydana geldiği düşünülebilir. Di-t.butil-germanium-kalkojenür bileşiklerinin $(t.\text{Bu}_2\text{GeY})_2$ ($\text{Y} = \text{S}, \text{Se}$), kütle spektrumlarında da bu durum gözlenmiştir [22]. Fakat, dimer di-t.butil-kalay-kalkojenürlerinden gaz fazında trimerlerinin olduğu görülmemiştir [19]. Dörtlü halkalardan gaz fazında altılı halkaların oluşması şu şekilde açıklanabilir (Reaksiyon III) :

Tablo-3 : NMR-Spektrumlarında gözlemlenen sinyallerin kayma değerleri

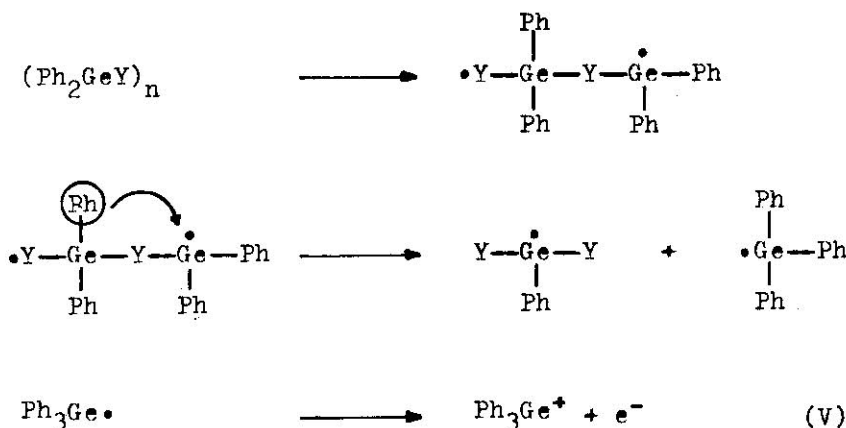
	(Ph ₂ GeS) ₂	(Ph ₂ GeS) ₃	(Ph ₂ GeSe) ₃	(Ph ₂ GeTe) ₂
¹ H-NMR	7,60 ppm	7,70 ppm	7,43 ppm	7,35 ppm
¹³ C-NMR	α : 138,66 ppm β : 133,27 γ : 128,53 δ : 130,53	α : 138,45 ppm β : 133,41 γ : 128,25 δ : 129,86	α : 138,20 ppm β : 133,65 γ : 128,25 δ : 129,77	α : 134,22 ppm β : 133,35 γ : 128,20 δ : 130,08
⁷⁷ Se-NMR			258,14 ppm	



Oluşan yeni halkanın kararlı olmaması nedeniyle tekrar dimer molekül oluşturabilir. Böylece az da olsa dimer ile trimer bileşik arasında gaz fazında bir denge kurulabilir (Reaksiyon IV).



Bütün bileşiklerin spektrumunda en şiddetli olarak gözlenen parçacık Ph_3Ge^+ iyonudur. Bileşiklerin yapısında bulunmayan (Ph_3Ge) parçacığının oluşması Mc Lafferty çevrilmesi ile açıklanır [20, 23, 24, 25] .



Benzer şekilde fenil grubu çevrilmesi, fenilli diğer metalorganik bileşiklerde de $(\text{Ph}_2\text{M})_n$ ($\text{M} = \text{Si, Ge, Sn}$; $n = 4, 5, 6$) gözlemlenmiştir [19, 20, 25, 26, 27] . Bu bulgular Ph_3Ge^+ iyonunun çok kararlı olduğunu göstermektedir. Bu iyonla değişik mezomer şekillerde bulunabilmesi kararlılık kazandırmaktadır. Bu dört bileşliğin kütle spektrumlarda görülen iyonlar toplu olarak Tablo-4'de verilmiştir.

Tablo-4 : Difenil-Germaniyum-Kalkojenür bileşiklerinin kütle spektrumlarında gözlemlenen iyonlar ve bağlılığındaki siddetleri (I).

İyon	(Ph ₂ GeS) ₂			(Ph ₂ GeS) ₃			(Ph ₂ GeSe) ₃			(Ph ₂ GeTe) ₂		
	m/e	I	İyon	m/e	I	İyon	m/e	I	İyon	m/e	I	
Ph ₄ Ge ₂ S ₂ ⁺	518	15	Ph ₆ Ge ₃ S ₃ ⁺	776	7	Ph ₆ Ge ₃ Se ₃ ⁺	918	19	Ph ₄ Ge ₂ Te ₂ ⁺	710	50	
Ph ₃ Ge ₂ S ₂ ⁺	441	24	Ph ₅ Ge ₃ S ₃ ⁺	699	21	Ph ₅ Ge ₃ Se ₃ ⁺	841	9	Ph ₃ Ge ₂ Te ₂ ⁺	633	3	
Ph ₃ Ge ₂ S ₄ ⁺	409	5	Ph ₅ Ge ₃ S ₂ ⁺	667	16	Ph ₅ Ge ₃ Se ₂ ⁺	762	7	Ph ₄ Ge ₂ Te ₄ ⁺	582	4	
Ph ₂ Ge ₂ S ₄ ⁺	332	7	Ph ₄ Ge ₃ S ₂ ⁺	622	7	Ph ₅ Ge ₂ Se ₂ ⁺	689	41	Ph ₃ Ge ₂ Te ⁺	505	2	
Ph ₃ Ge ⁺	304	100	Ph ₄ Ge ₂ S ₂ ⁺	518	6	Ph ₄ Ge ₂ Se ₂ ⁺	612	97	Ph ₂ Ge ₂ Te ⁺	428	3	
Ph ₂ Ge ⁺	227	14	Ph ₃ Ge ₂ S ₂ ⁺	441	19	Ph ₃ Ge ₂ Se ₂ ⁺	535	92	PhGeTe ₂ ⁺	406	3	
PhGeS ⁺	182	22	Ph ₃ Ge ₂ S ₄ ⁺	409	3	Ph ₃ Ge ₂ Se ₄ ⁺	456	6	Ph ₂ GeTe ⁺	355	3	
PhGe ⁺	150	38	Ph ₃ GeS ₂ ⁺	336	6	Ph ₃ GeSe ⁺	383	21	GeTe ₂ ⁺	329	6	
Ph ⁺	77	91	Ph ₃ Ge ⁺	304	100	Ph ₃ Ge ⁺	304	100	Ph ₃ Ge ₂ ⁺	304	100	
			Ph ₂ Ge ⁺	227	12	Ph ₂ Ge ⁺	227	47	PhGeTe ⁺	278	12	
			PhGeS ⁺	182	5	PhGeSe ⁺	229	53	Ph ₂ Ge ⁺	227	14	
			PhGe ⁺	150	17	PhGe ⁺	150	80	PhGe ⁺	150	58	
			Ph ⁺	77	21	Ph ⁺	77	95	Ph ⁺	150	8	

3.4. RÖNTGEN SPEKTRAL YAPI ANALİZİ

Bütün bileşiklerden kloroform-toluен karışımı içerisinde argon atmosferinde monokristaller elde edilmiştir. Bu kristaller otomatik dört yönlü difraktometre (CAD-4) ile ölçülp, elde edilen sinyaller bilgisayar yarıdımı ile değerlendirilmiştir. Böylece bileşiklerin yapıları kesin olarak aydınlatılmıştır.

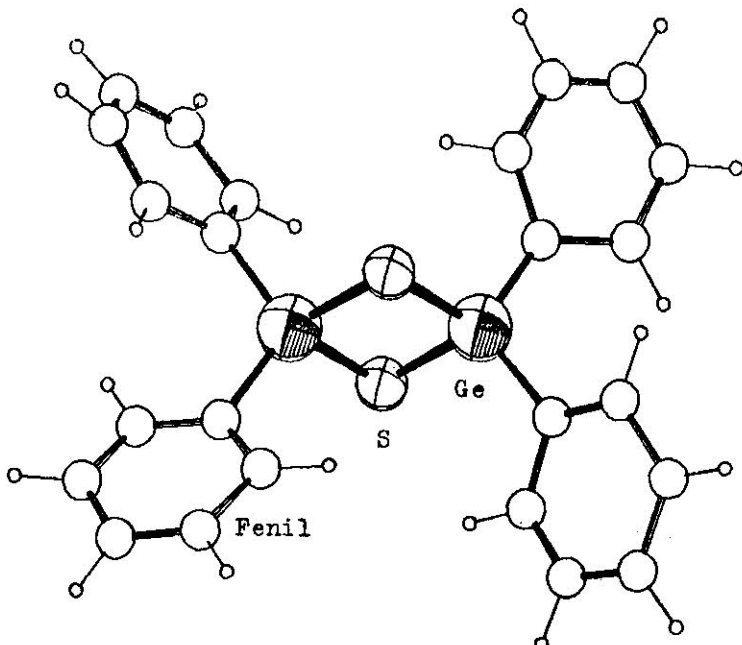
3.4.1. Dimer Difenil-Germanium-Sülfür-(Ph_2GeS)₂

İğnemsi renksiz kristallerden oluşan bileşik "monoklinik" bir kristal yapıya sahiptir. Her birim hücrede iki (Ph_2GeS)₂ molekülü bulunmaktadır. Germanium-Kükürt dörtlü halkası düzlem bir yapıya sahiptir. Fenil grupları kristal örgü içerisinde komşu moleküllerin grupları ile içeरe geçmiş vaziyettedir. Böylece daha yoğun bir kristal örgüsü oluşmaktadır. Bu nedenle dimer sülfürün ergime noktası trimer sülfüründen daha yüksek olmaktadır (Tablo-1).

Ge-S ve Ge-C bağ uzunlukları için bulunan değerler, bu tip bileşiklerde bulunan değerlere uymaktadır [14, 17, 20, 22, 28] . Halkadaki Ge-S-Ge açısı S-Ge-S açısından küçütür (Tablo-5). Dimer t. bütünlüğü- ve -kalay bileşiklerinde de benzer değerler gözlenmiştir [19,28].

a : 11,723 Å	α : 89,93°	Ge-S : 2,24 Å	S-Ge-S : 95,8°
b : 7,688	β : 91,16	Ge-C : 1,93	Ge-S-Ge: 84,1
c : 12,445	γ : 90,11	C = C: 1,39	C-Ge-C : 113,5
V : 1121 Å ³			
Röntgenografik yoğunluk : 1,54 g/cm ³			

Tablo-5 : (Ph_2GeS)₂ bileşigiinin birim hücre parametreleri, bağ uzunlukları ve bağ açıları.



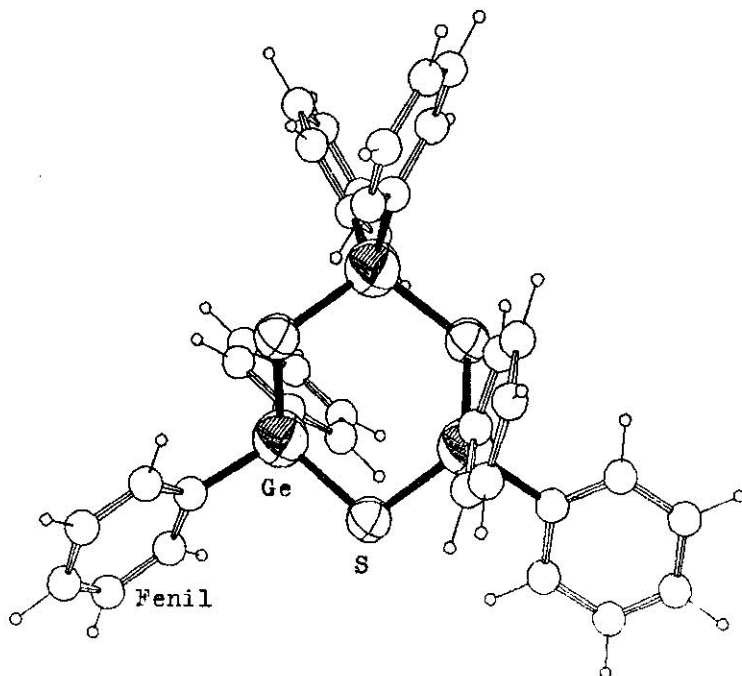
Şekil-9 : $(\text{Ph}_2\text{GeS})_2$ bileşiğinin uzaydaki görünüşü.

3.4.2. Trimer Difenil-Germanyum-Sülfür- $(\text{Ph}_2\text{GeS})_3$

Bu bileşikde monoklinik kristal yapıya sahiptir. Birim hücrede dört $(\text{Ph}_2\text{GeS})_3$ molekülü bulunmaktadır. Germanyum ve kükürt atomlarından oluşan altılı halka yaklaşık "Twist Konformasyonu" na sahiptir. Bu bileşik için bulunan değerler Tablo-6'da görülmektedir. Ge-S ve Ge-C bağ uzunlukları dimer ve trimer bileşikte birbirlerine çok yakındır. Fakat halka içerisindeki açılar beklenildiği gibi birbirinden farklıdır. Çünkü dörtlü halkada gergin bir yapı vardır ve açılar küçüktür, fakat altılı halka büyük olduğu için, halka içerisindeki açılar da büyütür (Tablo-5, 6).

$a : 11,965 \text{ \AA}$	$\alpha : 90,03^\circ$	$\text{Ge-S} : 2,23 \text{ \AA}$	$\text{S-Ge-S} : 112,1^\circ$
$b : 21,244$	$\beta : 129,37$	$\text{Ge-C} : 1,95$	$\text{Ge-S-Ge} : 105,5$
$c : 17,208$	$\gamma : 90,04$	$\text{C-C} : 1,39$	$\text{C-Ge-C} : 109,1$
$V : 3381,4 \text{ \AA}^3$			
Röntgenografik yoğunluk : $1,52 \text{ g/cm}^3$			

Tablo-6 : $(\text{Ph}_2\text{GeS})_3$ bileşığının birim hücre parametreleri, bağ uzunlukları ve bağ açıları.



Şekil-10 : $(\text{Ph}_2\text{GeS})_3$ bileşığının uzaydaki görünüşü.

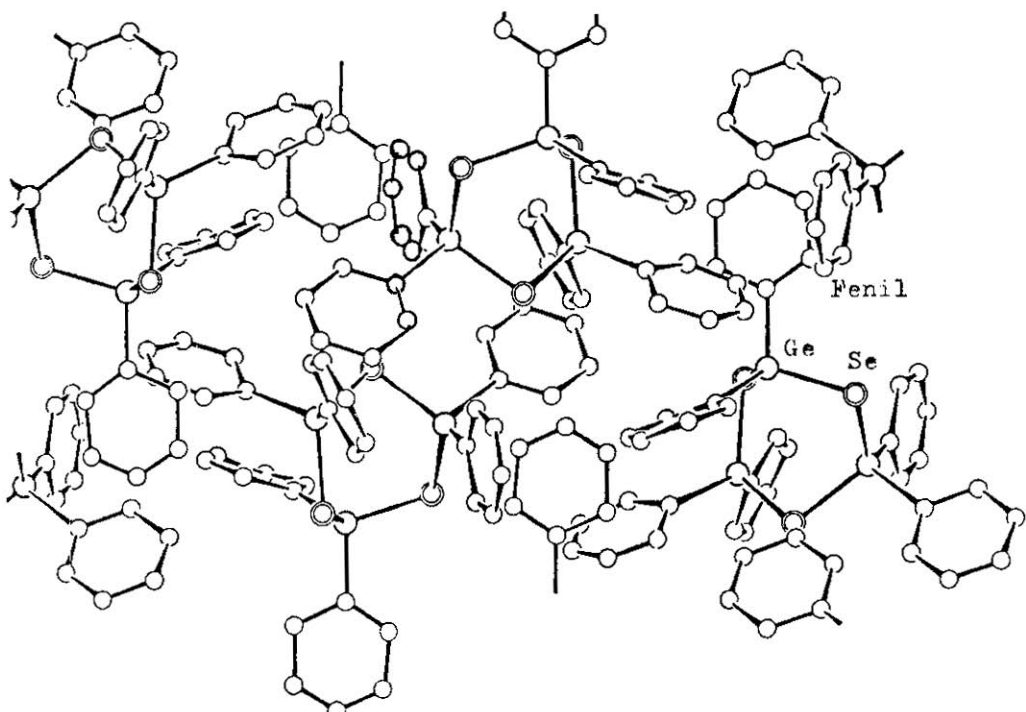
3.4.3. Difenil-Germanyum-Selenür $(\text{Ph}_2\text{GeSe})_3$

Trimer sülfür ile trimer selenür bileşikleri birbirlerine "izotip" tir. Yani aynı kristal yapıya sahiptirler. İki bileşik sadece germanyum-kalkojen

bağının, selenür bileşığında uzun olması ile birbirinden farklılık göstermektedir. Bağ açıları da birbirine benzemektedir (Tablo-7).

$a : 13,288 \text{ \AA}$	$\alpha : 90,0^\circ$	$\text{Ge-Se} : 2,35 \text{ \AA}$	$\text{Se-Ge-Se} : 113,3^\circ$
$b : 21,616$	$\beta : 95,22$	$\text{Ge-C} : 1,94$	$\text{Ge-Se-Ge} : 103,4^\circ$
$c : 11,996$	$\gamma : 90,0$	$\text{C=C} : 1,38$	$\text{C-Ge-C} : 109,0$
$V : 3431 \text{ \AA}^3$			
Röntgenografik yoğunluk : $1,76 \text{ g/cm}^3$			

Tablo-7 : $(\text{Ph}_2\text{GeSe})_3$ bileşığının birim hücre parametreleri, bağ uzunlukları ve bağ açıları.



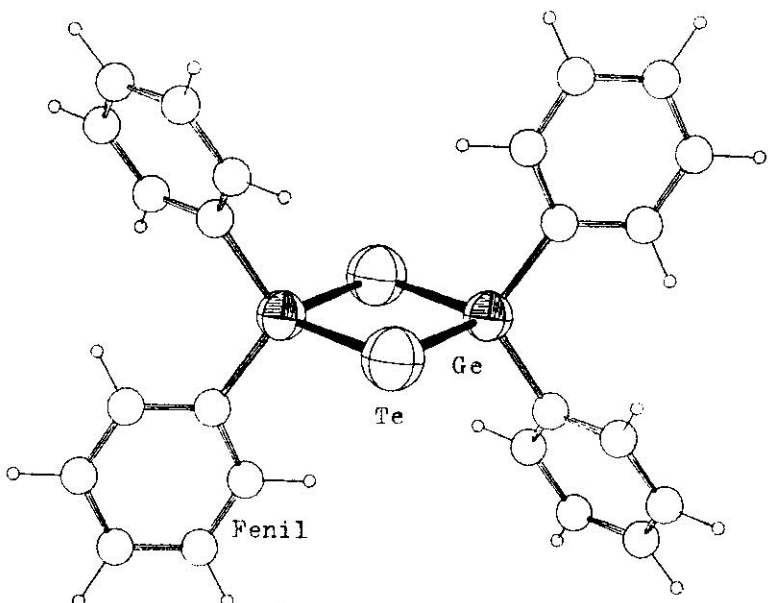
Sekil-11 : $(\text{Ph}_2\text{GeSe})_3$ bileşığının uzaydaki görünüşü

3.4.4. Difenil-Germanium-Tellur-(Ph_2GeTe)₂

Difenil-germanyum-tellur bileşiği rombik kristaller oluşturmaktadır. Birim hücresi "Triklinik" yapıya sahiptir ve bir adet (Ph_2GeTe)₂ molekülü içermektedir. Germanyum-Tellur dörtlü halkası aynen dimer sülfür bileşığında olduğu gibi düzlem bir yapıya sahiptir. Ge-C bağ uzunluğu burada da diğerlerine benzemekte, fakat Ge-Te bağı germanium-kalkojen bağlarına göre daha uzundur, çünkü tellurun atom yarıçapı diğerlerinden büyiktür (Tablo-8).

a : 7,988 Å	α : 82,14°	Ge-Te : 2,57 Å	Te-Ge-Te : 98,7°
b : 8,488	β : 78,12	Ge-C : 1,94	Ge-Te-Ge : 81,3
c : 9,277	γ : 70,08	C = C : 1,39	C-Ge-C : 111,2
$V : 577,3 \text{ \AA}^3$			
Röntgenografik yoğunluk : 1,594 g/cm ³			

Tablo-8 : (Ph_2GeTe)₂ bileşığının birimhcre parametreleri, bağ uzunlukları ve bağ açıları.



Şekil-11 : (Ph_2GeTe)₂ bileşığının uzaydaki görünüşü.

4. SONUÇ

Preparatif kimyada sentezi yeni yapılan bileşiklerin yapıları, sadece elementel analiz ve klasik spektroskopik metodlarla aydınlatılamamaktadır. En kesin sonucun Röntgen-Spektral yapı analizi ile ortaya çıkacağı bu çalışmada da görülmüştür. Trimer-sülfür, -selenür ve dimer-sülfür bileşiklerinin varlığı yukarıdaki spektroskopik çalışmalar (IR-, Raman-, NMR-, Kütle-) ile yeterli derecede aydınlatılmıştır. Fakat tellur bileşiğinde dimer bir yapının oluşup oluşmadığı, bu metodların hiçbiri ile kesin olarak tayin edilememiştir. Sadece IR-Spektrumu bir ön bilgi vermiş oldu. Sonunda Röntgen-Spektral yapı analizi yardımı ile, bileşiğin trimer değil, dimer olduğu anlaşılmıştır. Ortaya çıkan bu bulgu ile, organokalay bileşiklerinde görülen şu durum, fenilgermanyum bileşiklerince de doğrulanmıştır : "Doğrudan halka oluşması reaksiyonlarında, büyüyen kalkojenür ile sülfürden tellura doğru, dörtlü halka oluşması daha kolay olmaktadır". Bunun nedenini şöyle açıklayabiliriz : Tellurun atom yarıçapı ($1,4 \text{ \AA}$) küçüğünden ($1,04 \text{ \AA}$) büyük olduğundan, tellurun yapacağı altılı halka kükürde göre daha büyük olacaktır. Halkanın büyümesi ise, bileşiği kararsız hale getirecektir. Bu nedenle, difenil-germanyum-dibromür ile hidrojen-kalkcjenür veya sodyumkalkojenür arasında olan reaksiyonlarda, reaksiyon mekanizması aynı olduğu halde, değişik büyülükte bileşikler oluşmuştur. Sadece fenil grubu ile yapılan bileşiklerde değil, diğer organik gruplar ile yapılanlarda da, sülfür ile tellur bileşikleri arasında farklılıklar olduğu Röntgen-Spektral yapı analizi sonunda ortaya çıkmıştır [20, 22, 27] .

KAYNAKLAR

1. Dup, M., *Organometallic Compound I-II*, New York, Springerverlag (1973).
2. Steudel, R., *Chemie der Nichtmetalle*, Berlin, Walter de Gruyter, 427-428, (1974).
3. Hollemann, A.F., Wieberg, E., *Lehrbuch der anorganischen Chemie*, Berlin, Walter de Gruyter, 786-787 (1985).
4. Crowe Alan, J., *Chemistry and Industry*, 306, (1983).
5. Ullmann : *Encyklopedia der Technischen Chemie*, Weinheim, Verlag Chemie, Band 19, 301-341 (1977).
6. Stage, J., *Multiply Bonded Germanium Species*, *Adv. Organometal. Chem.*, 21, 241-287 (1982).
7. Haeberle, K., Draeger, M., $\text{Ph}_3\text{Ge}_5\text{O}_6$ ein Germoxan aus bicyclisch verknüpften (GeO_4)-Ringen, *Z. Naturforsch.*, 39 b, 1541-1547 (1984).
8. Puff, H., Franken, S., Schuh, W., *J. Organomet. Chem.* 256, 21-33 (1983).

9. Dakkouri, M., Kehrer, H., Darstellung der cyclischen Reihe (C_nH_{2n-1}) GeX_3 , Chem. Ber. 116, 2041-2043 (1983).
10. Simon, D., Haeberle, K., Draeger, M., Funktionalisierung von Hexaphenyldigerman, J. Organomet. Chem., 267, 133-142 (1984).
11. Puff, H., Kök, T.R., Schuh, W., (et al), Darstellung und Strukturen diorganilsubsti-tuierter Silicium-Germanium-Sauerstoff-Achtringe, J. Organomet. Chem., 268, 197-206 (1984).
12. Puff, H., Kök, T.R., Nauroth, P., (et al), Ein siebengliedriger Germanium-Silicium-Sauerstoff-Ring, J. Organomet. Chem., 281, 141-143 (1985).
13. Henry, M.C., Davidson, W.E., Can. J. Chem., 41, 1279-1283 (1963).
14. Jacobsen, H.J., Doktorarbeit, Naturwissenschaftliche Fakultaet, 1977, bielefeld/B. Almanya, Universitaet Bilefeld (1977).
15. Schumann, H., Infrarot-Spektren ringförmiger Organogermanium-, Organozin- und Organoblei-Sulfide, Z.anorg.allg.Chem., 354, 192-200 (1967).
16. Ross, L., Draeger, M., Octaphenyl-Selenatetragermacyclopentan, Z.anorg.allg.Chem., 472, 109-119 (1981).
17. Ross, L., Draeger, M., Octaphenyl-Chalkogenatetragermacyclopentane, J. Organomet. Chem., 194, 23-32 (1980).
18. Williams, D.H., Fleming, I., Spektroskopische Methoden zur Strukturaufklaerung, Georg Thieme Verlag, Stuttgart/B. Almanya (1975).
19. Schuh, W., Doktorarbeit, Naturwissenschaftliche Fakultaet, 1982, Bonn/B. Almanya, Universitaet Bonn (1982).
20. Schwab, W., Doktorarbeit, Naturwissenschaftliche Fakultaet, 1980, Bonn/B. Almanya, Universitaet Bonn (1980).
21. Ross, L., Draeger, M., Octaphenylcyclotetragerman (Ph_2Ge)₄, J. Organomet. Chem., 199, 195-204 (1980).
22. Wynowska, M., Noltemeyer, M., Fügrave, H-J., Zur Chemie von t-Bitylgermanium-Halogeniden und Chalkogeniden, J. Organomet. Chem. 228, 229-238 (1982).
23. Draeger, M., Ross, L., Simon, D., Die Modifikationen des dodecaphenylcyclohexagermans, Z. anorg. allg. Chem., 466, 145-156 (1980).
24. Draeger, M., Simon, D., 1, 4-Diodoctaphenyltetragerman I-(Ph_2Ge)₄-I, Z. anorg. allg. Chem. 472, 120-128 (1981).
25. Glockling, F., Light, J.R.C., Mass Spectra of Organogermans, J. Chem.Soc. (A), 717-741 (1968).
26. Kühlén, K., Neumann, W.P., J. Organomet.Chem. 14, 317-325 (1968).
27. Kök, T.R., Germanylu Heterosiklik Bileşikler (II) (Hazırlanıyor).
28. Rohbeck, G., Staatsexamensarbeit, Naturwissenschaftliche Fakultaet, 1981, Bonn/B. Almanya, Universitaet Bonn (1981).

Bileşiklerin sentezi ve spektroskopik çalışmaları B.Almanya Bonn Üniversitesi Fen Fakültesi Kinya Bölümünde yapılmış olup, yazarın doktora tezinin bir bölümüdür. Çalışmalar Alman Araştırma Merkezi ve Alman Endüstri Fonu tarafından desteklenmiştir.